

2.5 表面攪拌のフローバーン(2).

—よこ型式—

東北工大 工学部 大沼正郎

東北工大 工学部 ○羽田奇夫

1. はじめに

よこ型式表面攪拌によるエアレーションタンク内の流れは、攪拌羽根の吐出、吸引作用により循環流を形成していることが一つ特徴であり、従ってこの循環流の特性を知る必要がある。本報では、この特性を主にトレーサー法により観察したつと、その結果を報告する。

2. 実験装置および方法

実験装置の幾何学的条件を、図-1 および表-1 に示す。表面攪拌は、直径 10 cm のケスナー型攪拌羽根を、水面から 1 より 2.5 cm 水中に浸して回転せることによって行なつた。回転数は、50, 100, 150, 200, 250 より 300 rpm である。エアレーションタンクの幅は 50 cm であるが、流れと直角方向の流速による影響を小さくするために、槽内には 5 cm 間隔に整流板を入れた。

フローバーンの観察は、水素気泡法および粒子追跡法によつた。水素気泡法およびポリスチレン粒子追跡法については、(1). (2) 型式(詳述したところここでは省略する)。水素気泡による流速の測定は、白金線を攪拌羽根側の側壁から 20, 30, 40, および 50 cm 離れた所に設置して行なつた。錐粒子の追跡法については、約 20 個位の錐の小片を槽内に投入し、ストロボを用いて粒子の流跡を写真撮影し、約 1 枚の写真から 1 枚の合成写真を作成して、槽内の流れの状態を観察した。

図-1 実験装置

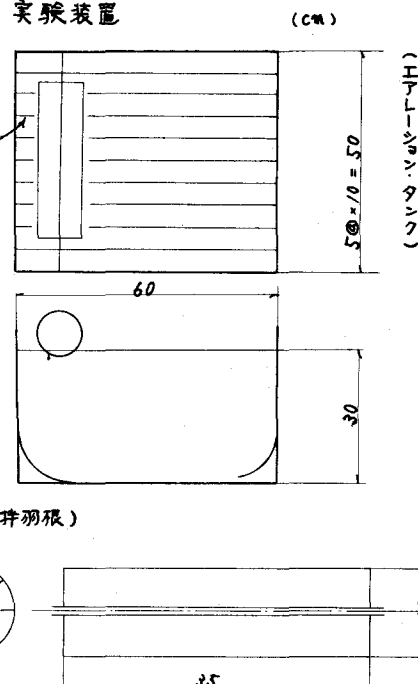


表-1. 攪拌羽根と実験条件

3. 実験結果および考察

回転数を 50 rpm、浸水深 2.5 cm とした時の、水素気泡法による代表的観測例を図-2 に、(3) 型式の槽内流速を測定した結果を図-3 に示す。

実験 No.	タイプ	直径	浸水深	羽根枚数
1	プレイト状	10 cm	1.0 cm	8
2	"	10	2.5	8
(3)	くく状	10	2.5	8

図-2. 水素気泡による観測例.
50 rpm, JD=2.5 cm.

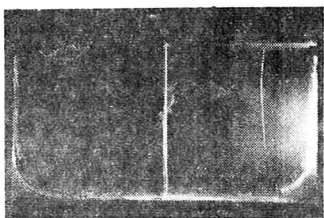
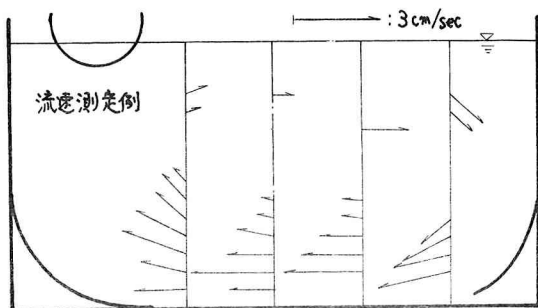


図-3.



同じ条件で、ポリスチレン粒子を用いた流跡の測定例を図-4に示す。また、浸水深1cmおよび2.5cm、回転数を50 rpmから800 rpmまで増加した時の錆粒子による槽内の流跡測定例を図-5以下に示した。

エアレーションタンク内の流動状態を、粒子の運動経路で追跡してみると次のようなることが言える。エアレーションタンクの水面および底部付近では流速がはやく、しかも流跡はほぼ一直線であるが、中央部では流速は比較的みてく、流跡も乱れてくる。一般に、攪拌羽根の直下の底の部分は羽根の吸引力が弱く、粒子が停滞する傾向がある。また、槽内には、攪拌羽根の吐出流の経路によつて、停滞しやすい部分があることがある。

一般的に、浸水深が1cmの場合には、回転数を50 rpmから800 rpmまで増加しても槽内の循環領域は1つで、フローパターンに大きな変化は見られない。が、浸水深が2.5cmに増えると、最初一つと、下方循環領域が、回転数の増加と共に大きく2つに分けられ、それが循環する形となり、それが回転数250 rpm附近にひとと、うたえの1つの循環領域に戻る傾向のあることが認められた。これが

図-4. 流跡. 50 rpm, 2.5 cm

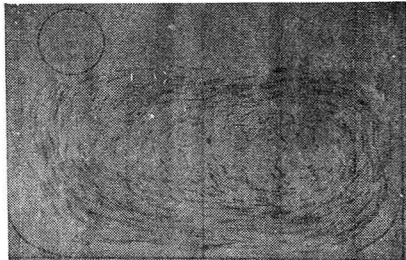


図-5. 流跡 100 rpm, 2.5 cm

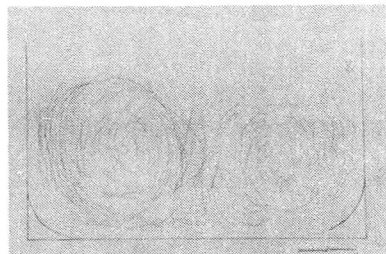


図-6. 150 rpm, 2.5 cm



図-7. 200 rpm, 2.5 cm

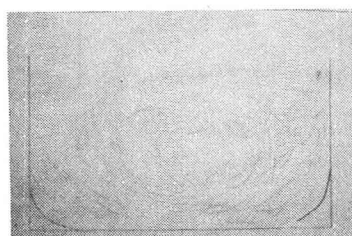


図-8

300 rpm, 2.5 cm



図-9.

50 rpm, 1 cm



図-10.

150 rpm, 1 cm

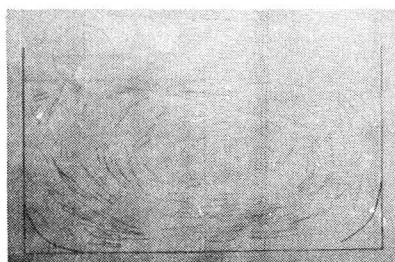
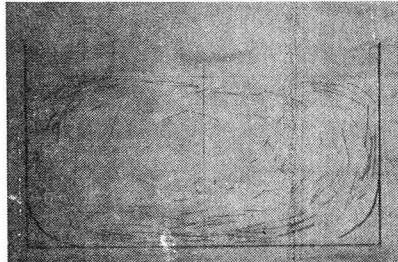


図-11.

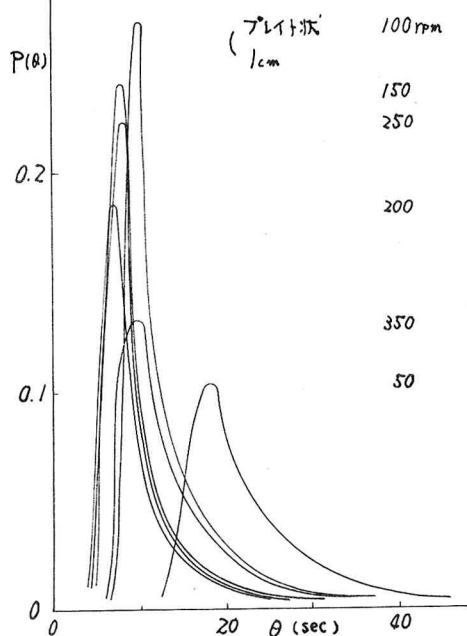
250 rpm, 1 cm



は、攪拌羽根(=吸引)されて吐出される流れが、浸水深が 1 cm の場合には、回転数が増加しても水の自由表面附近の強い流れとなり(=過ぎないのに)、浸水深が 2.5 cm と増えると、回転数の増加と共に攪拌羽根に吸い上げられた水が落下水となり、この流れが支配的となり、槽内と分離したためと考えられた。また、回転数が 250 rpm 付近で循環領域が元に戻るのは、これ以上回転数が増加すると攪拌羽根に吸い上げられた水が落下水となる量よりも飛散する量が増え、吐出流が弱まり、その結果、攪拌羽根の回転数が小さく吐出流が弱い場合の状態と同様な循環領域になり、この点で一致する。即ち、エアレーションタンク内のフローパターンは、よし型攪拌の場合、攪拌羽根の吐出流に大きく影響されると言えよう。

これと同じような現象は、槽内の循環流の特性を循環時間と、いう形で測定した結果⁽¹⁾からも得られた。図-12 は、浸水深が 1 cm の場合の循環時間分布を示す。縦軸は相対頻度を、横軸は循環時間(秒)を表している。循環時間は、その流動状態に固有の分布を持ち、あり、また、この曲線のモード値は、槽内の循環流の強さを表わすものと考えられるが、これには最大値が存在し回転数を増やしても、循環流は必ずしもそれに比例しない。

図-12. 循環時間分布。



で強くは作用しないことが認められる。これは、回転数を増加してもフローパターンに大きな変化がない浸水深1cmの場合であるが、循環領域が回転数と共に変化する浸水深2.5cmの場合にも同じ傾向が認められ、こゝまでは、攪拌効果という面から興味の持たれることはある。

なおこの点については、攪拌羽根の吐出流や槽内の同伴流と量的に関連づけて検討する必要があり、また、消費動力との関連も今後の課題としている。

4. 結び

よこ型攪拌によるエアレーションタンク内のフローパターンを、主にトレーサー追跡法を用いて検討した結果、次のようことが判った。

- 1). よこ型攪拌の場合、エアレーションタンク内のフローパターンは、攪拌羽根の吐出流とその吐出特性とに大きく左右される傾向がある。
- 2). 槽内のフローパターンは、ほぼ槽全体に行き渡る循環流を表すことができるが、攪拌羽根の浸水深が大きくなると、ある回転数の範囲内で循環領域が2つに分れる現象が観察された。
- 3). 攪拌羽根の回転数を増加しても、槽内の循環流は必ずしもそれ(=比例)で強くはならず。主流状態でも槽全体に循環流が十分に行き渡らずに、停滞部分が生じ易い傾向も見られた。

謝辞

本研究を行うに当り、種々の便宜をうかがって頂いた東北大学工学部教授坂本龍雄先生に感謝致します。また、直筆実験を行って頂いた本学私費並びに学生諸氏に感謝します。

参考文献

- 1). 松本、大沼、羽田；第8回下水道研究発表会講演集